

Возбуждение экситонов в полугораниченных твердых телах нерелятивистским электронным пучком

© Ю.О. Аверков, Ф.Г. Басс*, В.М. Яковенко

Институт радиофизики и электроники им. А.Я. Усикова Национальной академии наук Украины,
Харьков, Украина
Бар-Иланский университет,
Рамат-Ган, Израиль

E-mail: yuaver@online.kharkiv.com

(Поступила в Редакцию 6 ноября 2007 г.
В окончательной редакции 31 января 2008 г.)

Исследуется неустойчивость бесконечного тонкого электронного пучка, распространяющегося в вакууме над поверхностью изотропного негиротропного кристалла. Изучены возможности возбуждения дополнительных продольных волн и волн поляризации. Получены законы дисперсии связанных экситонно-пучковых волн. Показано, что взаимодействие пучка с дополнительными объемной продольной волной и поверхностной волной поляризации приводит к возникновению абсолютной неустойчивости.

PACS: 71.35.-y, 52.35.-g, 41.75.Fr

1. Введение

Понятие экситона было введено Френкелем в 1931 г. для объяснения сильного поглощения света в области уменьшения фотопроводимости [1]. Возможность возникновения дополнительных волн в кристалле вблизи частот экситонного поглощения была показана Пекаром в 1957 г. [2] с использованием микроскопического подхода для описания возбужденных экситонных состояний кристалла. Феноменологический подход к описанию электродинамики кристаллических сред с пространственной дисперсией был развит в работах Аграновича, Гинзбурга и Рухадзе [3,4]. Вследствие зависимости тензора диэлектрической проницаемости среды от показателя преломления n степень основного уравнения кристаллооптики относительно n^2 становится выше второй и зависит как от структуры кристалла, так и от направления распространения волны. Это приводит к возникновению в кристалле в окрестности экситонного резонанса дополнительной поперечной волны той же частоты и поляризации, что и основная волна вне области резонанса, но с другим значением показателя преломления. Подробная теория кристаллооптики с учетом пространственной дисперсии изложена в монографии [5].

Удобным инструментом изучения поверхностных колебаний, таких как оптические фононы и плазмоны, является спектроскопия поверхностей и тонких пленок с помощью пучков заряженных частиц. Подобные исследования интересны еще и тем, что поверхностные колебания оказывают влияние на кинетические коэффициенты в образцах малых размеров и тонких пленках [6]. Указанные типы возбуждений также можно характеризовать как экситоны, понимая под этим термином элементарные возбуждения в кристалле, подчиняющиеся статистике Бозе [5]. В области вне пластины поверхностные колебания создают медленно убывающее от по-

верхности электрическое поле. Благодаря ему электрон, находящийся в области вне пластины, взаимодействует с поверхностными плазмонными (или фононными) колебаниями. В экспериментах по отражению электронных пучков от металлических поверхностей был обнаружен вклад в энергетические потери пучка, связанный с неупругим рассеянием электронов на поверхностных плазмонах [7,8]. Возбуждение поверхностных плазмонов нерелятивистским электронным пучком, скользящим вдоль поверхности тонкой металлической (либо полупроводниковой) пластинки, рассматривалось в [9]. Скользящие углы падения пучка на поверхность обеспечивают зеркальное отражение электронов первыми несколькими приповерхностными слоями атомов. Это означает, что электроны пучка взаимодействуют лишь с поверхностными плазмонами и не испытывают рассеяния в объеме образца. Взаимодействие электронов с поверхностными плазмонами рассчитывалось в [9] с помощью точно решаемой квантово-механической модели, учитывающей возможность многоплазмонных эффектов. Возбуждение поверхностных плазмонов путем неупругого рассеяния электронных пучков с учетом эффектов пространственной дисперсии, а также взаимодействие поверхностных плазмонов с поверхностными фононами исследовались в работах [10–12]. В [13] предложен способ определения границы раздела поверхность–объем по зависимостям интенсивности линий поверхностных и объемных плазмонов от энергий первичных электронов, рассеянных металлической поверхностью. Возбуждение поверхностных плазмонов электронным пучком, распространяющимся параллельно композитной среде, теоретически рассмотрено в [14]. Исследованы случаи, когда композит представляет собой трехмерный массив квантовых проволок и квантовых сфер. Дисперсионные свойства одномерных поверхностных плазмонов, возбуждаемых электронным пучком, распространяющимся вблизи квантовой проволоки, изучены

в [15]. Особенности дисперсионных свойств одномерных поверхностных плазмонов, возбуждаемых электронным пучком, отраженным от трехмерного массива квантовых проволок, проанализированы в [16]. Возбуждение поверхностных оптических фононов за счет неупругого рассеяния медленных электронов исследовалось в [17–20].

Хорошо известно, что в физике полупроводников большую роль играет так называемый экситон Ванье–Мотта, представляющий собой связанное состояние электрона и дырки с эффективным радиусом, значительно превышающим межатомные расстояния [21]. Взаимодействие дипольно-активных экситонов Ванье–Мотта с фотонами приводит к образованию экситонных поляритонов. Кинематика экситонных поляритонов при резонансном рассеянии света, экситон-фононное взаимодействие, проблема дополнительных граничных условий и другие теоретические и экспериментальные аспекты физики экситонов подробно рассмотрены в монографии [22].

Теория экситон-поляритонного поглощения света в периодических структурах с квантовыми ямами развита в работах [23–25]. Установлено, в частности, что внутриямный беспорядок, обусловленный флуктуациями частот возбуждения в ямах, увеличивает интегральное поглощение света. К этому же эффекту приводит также наличие межъямного беспорядка, связанного с флуктуациями расстояния между ямами.

Исследование свойств экситонов в таких низкоразмерных структурах, как квантовые нити и квантовые точки, связано с возможностями использования этих структур для улучшения характеристики лазеров, оптических переключателей [26], а также для решения задач спинтроники [27]. В [26] приведены результаты измерений спектров линейного и нелинейного поглощения полупроводниковых (GaAs, CdSe) квантовых нитей, кристаллизованных в диэлектрических нанотрубках.

Различные экситонные состояния, такие как экситоны, биэкситоны, трионы, подробно исследованы в немагнитных структурах с самоорганизованными квантовыми точками [28,29]. В плане использования в областях спинтроники достаточно перспективными являются полумагнитные квантовые точки [27]. В таких структурах возможно реализовать большую спиновую поляризацию носителей в слабых магнитных полях благодаря обменному взаимодействию этих носителей с ионами магнитных примесей.

Свойства экситонов в полупроводящих углеродных нанотрубках исследованы в работе [30]. Показано, что вследствие сильного квантового конфайнмента электронов и дырок энергия связи экситонов в таких структурах может достигать значений от нескольких сотен meV до 1eV .

Явление бозе-эйнштейновской конденсации экситон-поляритонов в искусственных наноразмерных оптических емкостях, представляющих собой полупроводниковые квантовые ямы, окруженные зеркально отражаю-

щими слоями, исследовано в работах [31–33]. В таких структурах фотоны, взаимодействуя с экситонами квантовых ям, образуют экситон-поляритонные квазичастицы, способные конденсироваться в основное состояние при определенных температурах и интенсивностях лазерной накачки. Возможность создания поляритонных лазеров на базе таких структур анализируется в [34].

В перечисленных выше работах экситонные состояния в кристалле (экситоны Ванье–Мотта) исследовались оптическими методами. В то же время такие элементарные возбуждения могут взаимодействовать с потоками заряженных частиц, что позволяет их генерировать за счет эффекта пучковой неустойчивости. Возможность генерации экситонных волн квазинейтральным электронным пучком, проходящим сквозь диэлектрик, была теоретически рассмотрена в работе [35].

В настоящей работе изучена возможность возбуждения связанных поверхностных экситонно-пучковых волн квазинейтральным потоком заряженных частиц, движущимся в вакууме над поверхностью изотропного негиротропного диэлектрика. Здесь следует заметить, что в основе явления пучковой неустойчивости лежит эффект Вавилова–Черенкова, благодаря которому электроны пучка возбуждают поверхностные электромагнитные волны при выполнении условия синхронизма $\omega = \mathbf{k}\mathbf{v}_0$ (где ω — частота поверхностной волны, \mathbf{k} — волновой вектор пучковой волны, \mathbf{v}_0 — скорость пучка). Из рассмотренных выше работ по неупругому рассеянию электронных пучков следует, что при скользящих углах рассеяния в основе механизма электрон-плазмонного взаимодействия также лежит эффект Вавилова–Черенкова (см., например [9,14]). Следовательно, указанные работы могут свидетельствовать о возможности экспериментальной реализации рассмотренных нами эффектов. Отметим также, что поверхностный характер связанных экситонно-пучковых волн приводит к более слабому рассеянию этих волн на оптических фонах по сравнению с интенсивным рассеянием экситон-поляритонов в объеме образца [22]. Это облегчает возможность экспериментального обнаружения таких волн, дисперсионные характеристики которых позволяют определять энергию связи и эффективный радиус экситонов Ванье–Мотта.

2. Постановка задачи и основные уравнения

Рассмотрим границу раздела сред вакуум–кристалл, расположенную в плоскости $y = 0$. Кристалл занимает область $y > 0$. Бесконечно тонкий электронный пучок движется параллельно границе раздела двух сред в положительном направлении оси z со скоростью $v_0 \ll c$ (где c — скорость света в вакууме) на расстоянии $y = -h$ от границы. В плоскости xz пучок считается безграничным. Плотность высокочастотной неоднородной

составляющей тока пучка задается следующим образом:

$$j_z = ev_0 n(z, t) \delta(y + h) + en_0 v_z(z, t) \delta(y + h), \quad (1)$$

где e — заряд электрона, n_0 — равновесная поверхностная плотность электронов пучка, $n(z, t)$ и $v_z(z, t)$ — возмущения поверхностной плотности и скорости пучка соответственно, $\delta(x)$ — дельта-функция Дирака.

Без учета пространственной дисперсии среды в системе будут возбуждаться лишь поперечные волны ($\text{div } \mathbf{E} = 0$). Поскольку пучок нерелятивистский, для описания полей в области пучка воспользуемся уравнениями электростатики, а также линеаризованными уравнениями непрерывности и движения

$$\text{rot } \mathbf{E} = 0, \quad \text{div } \mathbf{E} = 4\pi en(z, t) \delta(y + h), \quad (2)$$

$$\frac{\partial n(z, t)}{\partial t} + n_0 \frac{\partial v_z(z, t)}{\partial z} + v_0 \frac{\partial n(z, t)}{\partial z} = 0, \quad (3)$$

$$\frac{\partial v_z(z, t)}{\partial t} = \frac{e}{m_0} E_z(z, t; y = -h), \quad (4)$$

где m_0 — масса свободного электрона. Поля в вакууме вне пучка удовлетворяют однородным уравнениям (2). Уравнения для полей в среде имеют вид

$$\text{rot } \mathbf{E} = 0, \quad \text{div } \mathbf{D} = 0. \quad (5)$$

Здесь $\mathbf{D} = \mathbf{E} + 4\pi \mathbf{P}$ — вектор электрической индукции, \mathbf{P} — вектор поляризации среды. Учет пространственной дисперсии кристалла означает, что связь индукции с электрическим полем является нелокальной в пространстве. Такой нелокальный отклик можно учесть, дополнив систему (5) уравнением для вектора поляризации среды \mathbf{P} [5]

$$\frac{\partial^2 \mathbf{P}}{\partial t^2} + \omega_0^2 \mathbf{P} - \alpha_1 \Delta \mathbf{P} - \alpha_2 \text{grad div } \mathbf{P} = \gamma \mathbf{E}, \quad (6)$$

где ω_0 — частота экситонного перехода, $\alpha_1, \alpha_2, \gamma$ — постоянные, описывающие структуру экситонных полос.

Используя уравнение (6) и $\text{div } \mathbf{D} = 0$, с помощью дисперсионных соотношений для продольного и поперечного экситонов можно показать, что

$$\alpha_1 = \frac{w_\perp}{m_\perp}, \quad \alpha_1 + \alpha_2 = \frac{w_\parallel}{m_\parallel}, \quad (7)$$

где $w_\perp = \hbar\omega_0$ и $w_\parallel = \hbar\sqrt{\omega_0^2 + 4\pi\gamma}$ — энергии активации поперечного и продольного экситонов, а m_\perp и m_\parallel — их эффективные массы. Система обычных электродинамических граничных условий для \mathbf{E} и \mathbf{D} на поверхности кристалла должна быть дополнена условием для вектора поляризации \mathbf{P}

$$\frac{\partial \mathbf{P}}{\partial y} \Big|_{y=0} + \xi \mathbf{P} \Big|_{y=0} = 0, \quad (8)$$

где постоянная ξ описывает свойства границы.

Дисперсионное уравнение для связанной экситонной и пучковой волны получается из совместного решения граничных условий в плоскости пучка и на поверхности кристалла. Граничные условия в плоскости пучка выражают непрерывность компоненты E_z и скачок компоненты E_y электрического поля. Граничные условия на поверхности кристалла состоят из условий непрерывности компонент E_z, D_y и условия (8) при $\xi = 0$ либо при $\xi = \infty$.

Представим $n(z, t), v_z(z, t)$ и поля излучения в виде следующих интегралов Фурье:

$$n(z, t) = \int_{-\infty}^{\infty} dk_z d\omega n(k_z, \omega) \exp[i(k_z z - \omega t)], \quad (9)$$

$$v_z(z, t) = \int_{-\infty}^{\infty} dk_z d\omega v_z(k_z, \omega) \exp[i(k_z z - \omega t)], \quad (10)$$

$$\mathbf{A}(y, z, t) = \int_{-\infty}^{\infty} dk_z d\omega \mathbf{A}(k_z, \omega; y) \exp[i(k_z z - \omega t)], \quad (11)$$

где $\mathbf{A}(k_z, \omega; y)$ — Фурье-трансформанта поля излучения. Интегрируя уравнение Пуассона по координате y в области пучка, получим следующую пару граничных условий:

$$E_{y2}(k_z, \omega; y = -h) - E_{y1}(k_z, \omega; y = -h) = 4\pi en(k_z, \omega), \quad (12)$$

$$E_{z2}(k_z, \omega; y = -h) = E_{z1}(k_z, \omega; y = -h), \quad (13)$$

где индекс 1 относится к области над пучком, а индекс 2 — к области между пучком и кристаллом. Граничные условия на поверхности кристалла запишутся в виде

$$E_{y2}(k_z, \omega; y = 0) = D_{y3}(k_z, \omega; y = 0), \quad (14a)$$

$$E_{z2}(k_z, \omega; y = 0) = E_{z3}(k_z, \omega; y = 0), \quad (14b)$$

$$\frac{dP_{y3}}{dy} \Big|_{y=0} + \xi P_{y3} \Big|_{y=0} = 0, \quad (15)$$

где индекс 3 относится к области кристалла.

Рассмотрим граничные условия в плоскости пучка. Из уравнений (3) и (4) выражаем $n(k_z, \omega)$ и $v_z(k_z, \omega)$ через электрическое поле

$$n(k_z, \omega) = \frac{ien_0 k_z}{m_0(\omega - k_z v_0)^2} E_z(k_z, \omega; y = -h), \quad (16)$$

$$v_z(k_z, \omega) = \frac{ie}{m_0(\omega - k_z v_0)} E_z(k_z, \omega; y = -h). \quad (17)$$

В областях 1 и 2 Фурье-трансформанты электрических полей записываются следующим образом:

$$\mathbf{E}_1(k_z, \omega; y) = \mathbf{E}_1(k_z, \omega) \exp(ik_{y1}y), \quad (18)$$

$$\mathbf{E}_2(k_z, \omega; y) = \mathbf{E}_{21}(k_z, \omega) \exp(ik_{y1}y) + \mathbf{E}_{22}(k_z, \omega) \exp(-ik_{y1}y), \quad (19)$$

где $k_{y1} = -i|k_z|$. Подставив (16)–(19) в граничные условия (12), (13) и воспользовавшись тем, что в каждой

из областей 1 и 2 выполняется равенство $\text{div } \mathbf{E} = 0$, получим

$$E_{z21}(k_z, \omega) = \left[1 - \frac{2\pi i e^2 n_0 k_{y1}}{m_0(\omega - k_z v_0)^2} \right] E_{z1}(k_z, \omega), \quad (20)$$

$$E_{z22}(k_z, \omega) = \frac{2\pi i e^2 n_0 k_{y1}}{m_0(\omega - k_z v_0)^2} \exp(-2ik_{y1}h) E_{z1}(k_z, \omega). \quad (21)$$

Фурье-трансформанты электрической индукции и электрического поля в области 3 записываются в виде суперпозиции поперечной ($\mathbf{k}_{21}\mathbf{E}_{31} = 0$, $\mathbf{k}_{21}\mathbf{D}_{31} = 0$) и дополнительной (\mathbf{E}_{32} , \mathbf{D}_{32}) волн

$$\mathbf{E}_3(k_z, \omega; y) = \mathbf{E}_{31}(k_z, \omega) \exp(ik_{y21}y) + \mathbf{E}_{32}(k_z, \omega) \exp(ik_{y22}y), \quad (22)$$

$$\mathbf{D}_3(k_z, \omega; y) = \mathbf{D}_{31}(k_z, \omega) \exp(ik_{y21}y) + \mathbf{D}_{32}(k_z, \omega) \exp(ik_{y22}y), \quad (23)$$

где $k_{y21} = i|k_z|$, а k_{y22} — нормальная компонента волнового вектора дополнительной волны.

3. Возбуждение продольных экситонов

Рассмотрим возбуждение пучком дополнительной продольной волны в кристалле, поле которой удовлетворяет следующим уравнениям [5]:

$$\mathbf{D}_{32} = \mathbf{E}_{32} + 4\pi\mathbf{P}_{32} = 0, \quad \text{rot } \mathbf{E}_{32} = 0. \quad (24)$$

Приняв во внимание, что $\text{rot } \mathbf{P}_{32} = 0$, из уравнения (6) находим

$$\mathbf{E}_{32} = \gamma^{-1}[\omega_0^2 - \omega^2 + (\alpha_1 + \alpha_2)k_{z2}^2]\mathbf{P}_{32}. \quad (25)$$

Подставив (25) в первое уравнение системы (24), получим дисперсионное соотношение для продольных экситонов

$$\varepsilon + \alpha k_{z2}^2 = 0, \quad (26)$$

где

$$\varepsilon = 1 + \frac{\omega_N^2}{\omega_0^2 - \omega^2}, \quad a = \frac{\alpha_1 + \alpha_2}{\omega_0^2 - \omega^2}, \quad \omega_N^2 = 4\pi\gamma.$$

Граничные условия на поверхности кристалла (14а), (14b) и (15) запишутся в виде

$$E_{y21}(k_z, \omega; y = 0) + E_{y22}(k_z, \omega; y = 0) = \varepsilon E_{y31}(k_z, \omega; y = 0), \quad (27)$$

$$E_{z21}(k_z, \omega; y = 0) + E_{z22}(k_z, \omega; y = 0) = E_{z31}(k_z, \omega; y = 0) + E_{z32}(k_z, \omega; y = 0), \quad (28)$$

$$(\varepsilon - 1)(\xi + ik_{y21})E_{y31}(k_z, \omega; y = 0) - (\xi + ik_{y22})E_{y32}(k_z, \omega; y = 0) = 0. \quad (29)$$

Решив совместно уравнения (20), (21) и (27)–(29), получим следующее уравнение для связанных продольной экситонной и пучковой волн при $h = 0$:

$$k_{y21}(1 - 2\eta) - \varepsilon k_{y1} = (\varepsilon - 1)(1 - 2\eta) \frac{\xi + ik_{y21}}{\xi + ik_{y22}} \frac{k_z^2}{k_{y22}^2}, \quad (30)$$

где

$$\eta = \frac{2\pi i e^2 n_0 k_{y1}}{m_0(\omega - k_z v_0)^2}. \quad (31)$$

Рассмотрим случай $\xi = 0$. Дисперсионное уравнение (30) с учетом того, что $k_{y1} = -i|k_z|$, $k_{y21} = i|k_z|$, примет вид

$$\varepsilon + 1 - (\varepsilon - 1) \frac{k_z^2}{k_{y22}^2} = \frac{4\pi e^2 n_0 |k_z|}{m_0(\omega - k_z v_0)^2} \left[1 - (\varepsilon - 1) \frac{k_z^2}{k_{y22}^2} \right]. \quad (32)$$

Найдем закон дисперсии экситонных волн в кристалле в отсутствие пучка. Для этого положим равной нулю правую часть уравнения (32) и воспользуемся соотношением (26). В результате получим

$$k_z^2 = -\frac{\omega_N^2}{2(\alpha_1 + \alpha_2)} \frac{\varepsilon + 1}{\varepsilon - 1}, \quad k_{y22}^2 = -\frac{\omega_N^2}{2(\alpha_1 + \alpha_2)}. \quad (33)$$

Из (33) следует, что при $\alpha_1 + \alpha_2 > 0$ и $-1 < \varepsilon < 1$ вдоль поверхности кристалла могут распространяться поверхностные волны, представляющие собой суперпозицию поперечных волн ($k_{y1} = -i|k_z|$, $k_{y21} = i|k_z|$) и продольной экситонной волны ($k_{y22} = i\omega_N/\sqrt{2(\alpha_1 + \alpha_2)}$). Соответствующий частотный интервал равен

$$\sqrt{\omega_0^2 + \omega_N^2/2} < \omega < \infty. \quad (34)$$

При $\alpha_1 + \alpha_2 < 0$ и $|\varepsilon| > 1$ в среде распространяются поверхностная волна с $k_{y21} = i|k_z|$ и объемная продольная экситонная волна с $k_{y22} = \omega_N/\sqrt{2|\alpha_1 + \alpha_2|}$ в следующем частотном интервале:

$$0 < \omega < \sqrt{\omega_0^2 + \omega_N^2/2}. \quad (35)$$

Заметим, что условие $\alpha_1 + \alpha_2 > 0$ соответствует положительной эффективной массе продольного экситона, а условие $\alpha_1 + \alpha_2 < 0$ — отрицательной. Зависимость $\omega(k_z)$ имеет вид

$$\omega = \sqrt{\omega_0^2 + \omega_N^2/2 + (\alpha_1 + \alpha_2)k_z^2}. \quad (36)$$

Из выражения (36) видно, что дисперсия поверхностных волн в кристалле будет положительной ($\alpha_1 + \alpha_2 > 0$), а дисперсия объемной экситонной волны — отрицательной ($\alpha_1 + \alpha_2 < 0$). Это означает, что взаимодействие

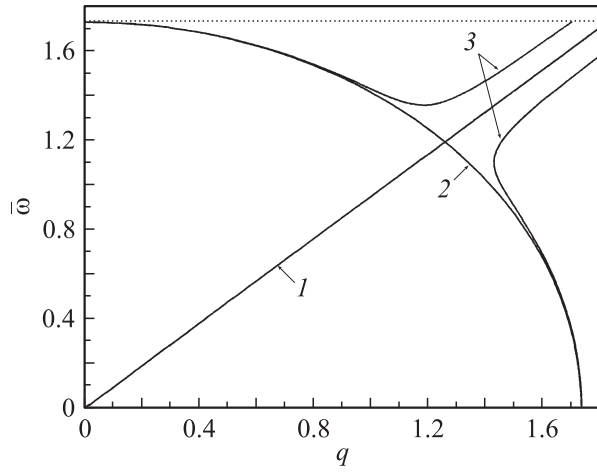


Рис. 1. Дисперсионные кривые связанных волн пучка и объемной продольной экситонной волны (3). 1 — пучковая волна, 2 — объемная продольная экситонная волна в отсутствие пучка.

объемной экситонной волны с волной пучка ($\omega = k_z v_0$) может привести к возникновению абсолютной неустойчивости. Найдем инкремент нарастания связанной волны в кристалле, положив

$$\omega = \omega_{\text{res}} + \delta\omega, \quad (37)$$

где $\omega_{\text{res}} = k_z v_0$ является решением невозмущенного уравнения (32), $|\delta\omega| \ll \omega$. Подстановка (37) в (32) дает

$$\text{Im}(\delta\omega) = \frac{\sqrt{3}}{2} \left(\frac{\pi e^2 n_0 \omega_N^2}{2m_0 |v_0|} \right)^{1/3}. \quad (38)$$

В дальнейшем дисперсионное соотношение (32) удобно записать в безразмерных переменных $\bar{\omega} = \omega/\omega_0$ и $q = k_z \sqrt{|\alpha_1 + \alpha_2|}/\omega_0$

$$\begin{aligned} (\bar{\omega} - q\bar{v})^2 \left[\varepsilon + 1 - (\varepsilon - 1) \frac{q^2}{\bar{k}_{y22}^2} \right] \\ = \Lambda |q| \left[1 - (\varepsilon - 1) \frac{q^2}{\bar{k}_{y22}^2} \right], \end{aligned} \quad (39)$$

где $\bar{v} = v_0/\sqrt{|\alpha_1 + \alpha_2|}$ — безразмерная скорость пучка, $\bar{k}_{y22}^2 = \varepsilon(1 - \bar{\omega}^2) - q^2$, $\Lambda = 4\pi e^2 n_0 / (m_0 \omega_0 \sqrt{|\alpha_1 + \alpha_2|})$ — безразмерный параметр связи волны пучка с волнами в кристалле.

На рис. 1 показано численное решение уравнения (39) при $|\alpha_1 + \alpha_2| \sim 10^{17} \text{ см}^2/\text{с}^2$, $\bar{v} \approx 1$ ($v_0 \sim 0.01c$), $\omega_N = 2\omega_0$, $\Lambda \sim 0.01$. Кривая 1 соответствует пучковой волне $\bar{\omega} = q\bar{v}$, кривая 2 — объемной экситонной волне без пучка, кривые 3 представляют решения уравнения (39) для связанных волн пучка и объемных экситонов. На рис. 2 построены дисперсионные кривые связанных волн вблизи малой окрестности точки пересечения

($q_{\text{int}}, \bar{\omega}_{\text{int}}$) дисперсионных кривых пучка и объемных продольных экситонов

$$(\delta\bar{\omega} - \bar{v}\delta q)^2 (\delta\bar{\omega} - \bar{v}_{\text{gr}}\delta q) = \Lambda_{\text{int}} \frac{|q_{\text{int}}|}{q_{\text{int}}}, \quad (40)$$

где $\Lambda_{\text{int}} = \pi e^2 n_0 \bar{\omega}_N^2 / (2m_0 \omega_0 v_0) \sim 5 \cdot 10^{-3}$ — безразмерный параметр связи волн, $\bar{\omega}_N = \omega_N/\omega_0 = 2$,

$$q_{\text{int}} = \sqrt{\frac{1 + \bar{\omega}_N^2/2}{1 + \bar{v}^2}}, \quad \bar{\omega}_{\text{int}} = q_{\text{int}}\bar{v},$$

$\bar{v}_{\text{gr}} = v_{\text{gr}}/\sqrt{|\alpha_1 + \alpha_2|}$ — безразмерная групповая скорость объемных волн в точке пересечения дисперсионных кривых

$$\bar{v}_{\text{gr}} = -\frac{\sqrt{|\alpha_1 + \alpha_2|}}{v_0}. \quad (41)$$

На рис. 2 кривая 1 соответствует пучковой волне, кривые 2 и 3 — кривым 3 на рис. 1 при $q_{\text{int}} > 0$, $\omega_{\text{int}} > 0$, а кривые 4 и 5 — кривым 3 на рис. 1 при $q_{\text{int}} < 0$, $\omega_{\text{int}} < 0$. Топология дисперсионных кривых 3 и 5 на рис. 2 в соответствии с правилами Старрока [36,37] свидетельствует о возникновении абсолютной неустойчивости.

В оптической части спектра, где $\omega_0 \sim 10^{15} \text{ с}^{-1}$ [5], получаем следующую оценку для резонансных значений k_z и k_{y22} :

$$|k_z^{\text{res}}|, |k_{y22}^{\text{res}}| \sim q_{\text{res}} \omega_0 / \sqrt{|\alpha_1 + \alpha_2|} \sim 6 \cdot 10^6 \text{ см}^{-1}. \quad (42)$$

Из (42) видно, что условие непрерывности кристаллической среды $\lambda = 2\pi/|k_z^{\text{res}}| \sim 10^{-6} \text{ см} \gg l \sim 3 \cdot 10^{-8} \text{ см}$ выполняется (где l — период решетки кристалла). Для значения $n_0 \sim 10^{12} \text{ см}^{-2}$, соответствующего $\Lambda \sim 0.01$, и $v_0 \sim 0.01c$ имеем $\text{Im}(\delta) \sim 10^{14} \text{ с}^{-1}$. Частота затухания экситонных волн ν является величиной порядка

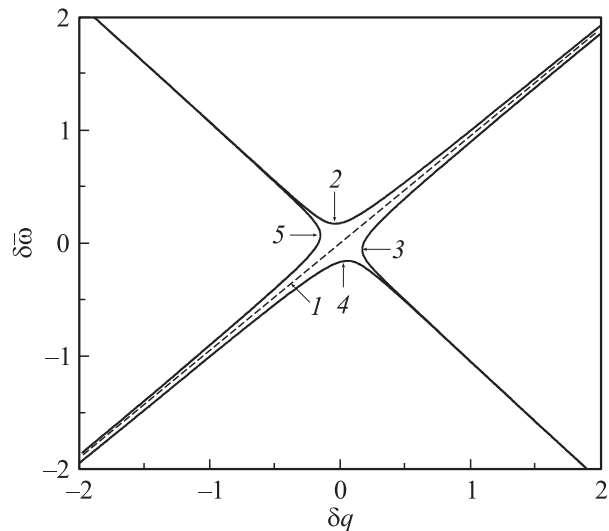


Рис. 2. Дисперсионные кривые связанных волн пучка и объемной продольной экситонной волны в окрестности резонанса (2-5). 1 — пучковая волна.

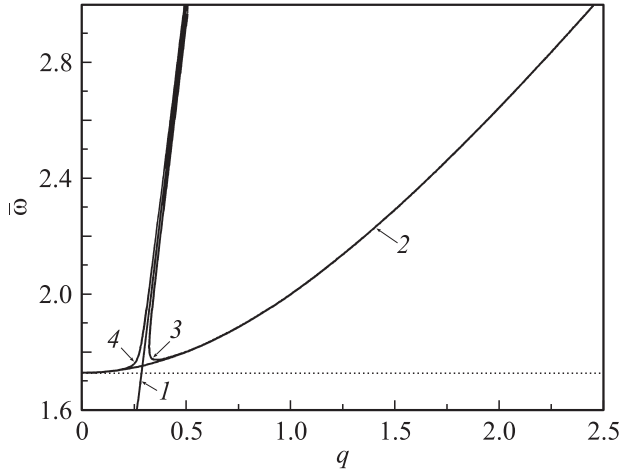


Рис. 3. Дисперсионные кривые связанных волн пучка и поверхностной экситонной волны (3, 4). 1 — пучковая волна, 2 — поверхностная экситонная волна в отсутствие пучка.

$v/\omega_0 \sim 10^{-2} - 10^{-4}$. Следовательно, выполняется неравенство $\text{Im}(\delta\omega) \gg v$, означающее возможность усиления объемных продольных экситонных волн.

Дисперсионная кривая поверхностной экситонной волны, описываемая выражением (36), приведена на рис. 3 (кривая 2). Кривая 1 на этом рисунке соответствует пучковой волне, а кривые 3 и 4 — двум ветвям связанной волны пучка с поверхностными волнами. Топология дисперсионных кривых связанных волн указывает на возникновение конвективной неустойчивости.

Решение дисперсионного уравнения (30) для $\xi = \infty$ без учета пучка приводит к следующим дисперсионным соотношениям для экситонных волн:

$$k_z^2 = -\frac{\omega_N^2}{4(\alpha_1 + \alpha_2)} \frac{(\varepsilon + 1)^2}{\varepsilon - 1}, \quad k_{y22} = -i|k_z| \frac{\varepsilon - 1}{\varepsilon + 1},$$

$$k_{y22}^2 = \frac{\omega_N^2}{4(\alpha_1 + \alpha_2)} (\varepsilon - 1). \quad (43)$$

Из (43) следует, что экситонная волна в рассматриваемом случае может быть только поверхностной и существует при $\alpha_1 + \alpha_2 > 0$, $-1 < \varepsilon < 1$, что соответствует частотному интервалу $\sqrt{\omega_0^2 + \omega_N^2/2} < \omega < \infty$. Дисперсионная кривая $\omega(k_z)$ имеет положительную дисперсию и описывается следующим выражением:

$$\omega^2 = \omega_0^2 + \frac{1}{2} \left\{ \omega_N^2 + (\alpha_1 + \alpha_2)k_z^2 + \sqrt{[\omega_N^2 + (\alpha_1 + \alpha_2)k_z^2]^2 - \omega_N^4} \right\}. \quad (44)$$

При $k_z = 0$ частота равна $\omega = \sqrt{\omega_0^2 + \omega_N^2/2}$ и при $k_z^2 \gg \omega_N^2/(\alpha_1 + \alpha_2)$ растет по линейному закону: $\omega \approx \sqrt{\alpha_1 + \alpha_2}|k_z|$. Ход дисперсионных кривых связанных волн пучка и рассматриваемой экситонной волны качественно совпадает с ходом кривых 3 и 4 на рис. 3.

4. Возбуждение волн поляризации

Рассмотрим возбуждение пучком волн поляризации, для которых выполняются следующие соотношения [5]:

$$\mathbf{D}_{32} \neq 0, \quad \mathbf{k}_{22}\mathbf{D}_{32} = 0, \quad \mathbf{E}_{32} = 0. \quad (45)$$

Граничные условия (14), (15) для $\xi = 0$ в этом случае примут вид

$$E_{y21}(k_z, \omega; y = 0) + E_{y22}(k_z, \omega; y = 0) = \varepsilon E_{y31}(k_z, \omega; y = 0) + D_{y32}(k_z, \omega; y = 0), \quad (46)$$

$$E_{z21}(k_z, \omega; y = 0) + E_{z22}(k_z, \omega; y = 0) = E_{z31}(k_z, \omega; y = 0), \quad (47)$$

$$(\varepsilon - 1)k_{y21}E_{y31}(k_z, \omega; y = 0) + k_{y22}D_{y32}(k_z, \omega; y = 0) = 0. \quad (48)$$

Дисперсионное соотношение для связанных пучковой волны и волн поляризации определяется детерминантом системы уравнений (46)–(48) и имеет вид

$$(\omega - k_z v_0)^2 \left[\varepsilon + 1 - (\varepsilon - 1) \frac{i|k_z|}{k_{y22}} \right] = \frac{4\pi e^2 n_0 |k_z|}{m_0}. \quad (49)$$

Здесь положено $h = 0$. Зависимость $k_{y22}(k_z, \omega)$ находится из уравнения для вектора поляризации среды (6), в котором учтены свойства волн (45),

$$k_{y22}^2 = -k_z^2 - \frac{\omega_0^2 - \omega^2}{\alpha_1}. \quad (50)$$

Дисперсионные соотношения для волн поляризации в отсутствие пучка имеют вид

$$k_z^2 = -\frac{\omega_N^2(\varepsilon + 1)^2}{4\alpha_1\varepsilon(\varepsilon - 1)}, \quad k_{y22} = i|k_z| \frac{\varepsilon - 1}{\varepsilon + 1}. \quad (51)$$

Из (51) следует, что волны поляризации являются поверхностными и существуют при $\alpha_1 < 0$ (т.е. $m_\perp < 0$), $|\varepsilon| > 1$ в интервале частот

$$0 < \omega < \sqrt{\omega_0^2 + \omega_N^2/2}. \quad (52)$$

Зависимость $\omega(k_z)$ для поверхностных волн поляризации соответствует волнам с отрицательной дисперсией и описывается следующим выражением:

$$\omega^2 = \omega_0^2 + \frac{1}{2} \left[\omega_N^2 - |\alpha_1|k_z^2 - \sqrt{\alpha_1^2 k_z^4 + 2\omega_N^2 |\alpha_1| k_z^2} \right]. \quad (53)$$

Взаимодействие таких волн с волной пучка может привести к возникновению абсолютной неустойчивости с инкрементом

$$\text{Im}(\delta\omega) = \frac{\sqrt{3}\omega_N}{4} \left[\frac{\Lambda\sqrt{|\alpha_1|}\omega_0\omega_N}{v_0(3\omega_N^2/2 + \omega_0^2 - k_z^2 v_0^2)} \right]^{1/3}. \quad (54)$$

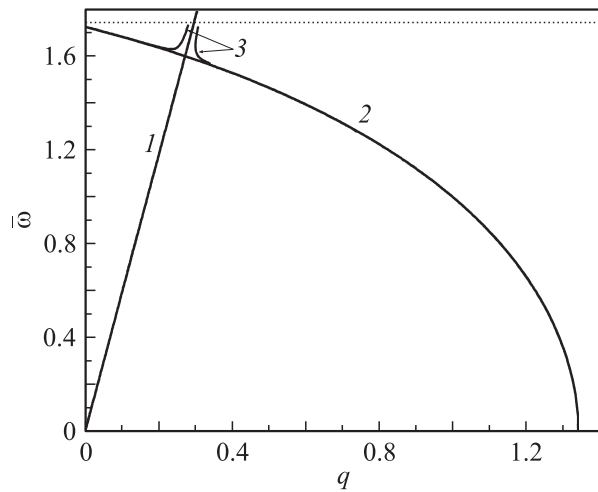


Рис. 4. Дисперсионные кривые связанных волн пучка и поверхностной волны поляризации (3). 1 — пучковая волна, 2 — поверхностная волна поляризации в отсутствие пучка.

Запишем соотношение (49) в безразмерных переменных $\bar{\omega} = \omega/\omega_0$, $q = k_z \sqrt{|\alpha_1|}/\omega_0$:

$$(\bar{\omega} - q\bar{v})^2 \left[\varepsilon + 1 - (\varepsilon - 1) \frac{|q|}{\sqrt{q^2 + \bar{\omega}^2 - 1}} \right] = \Lambda|q|, \quad (55)$$

где $\bar{v} = v_0/\sqrt{|\alpha_1|}$, $\Lambda = 4\pi e^2 n_0 / (m_0 \omega_0 \sqrt{|\alpha_1|})$ — безразмерный параметр связи. На рис. 4 показано численное решение уравнения (55) при $|\alpha_1| \sim 10^{16} \text{ cm}^2/\text{s}^2$, $\bar{v} \approx 6$ ($v_0 \sim 0.01c$), $\omega_N = 2\omega_0$, $\Lambda \sim 0.01$. Кривая 1 соответствует пучковой волне $\bar{\omega} = q\bar{v}$, кривая 2 — поверхностной волне поляризации без пучка, кривые 3 представляют решения уравнения (55) для связанных волн пучка и поверхностных волн поляризации. Топология дисперсионных кривых 3 качественно соответствует случаю объемных продольных волн и означает возникновение абсолютной неустойчивости. Численные оценки для указанных выше параметров пучка и среды дают следующие значения для k_z^{res} , k_y^{res} и инкремента неустойчивости: $|k_z^{\text{res}}| \sim 10^6 \text{ cm}^{-1}$, $|k_y^{\text{res}}| \sim 5 \cdot 10^6 \text{ cm}^{-1}$, $|\text{Im}(\delta\omega)| \sim 10^{14} \text{ s}^{-1}$. Следовательно, условие непрерывности среды выполняется, а волны поляризации могут быть усилены электронным пучком.

В заключение отметим, что если толщина электронного пучка значительно превышает длину возбуждаемой волны, то такой пучок можно считать полубесконечным вдоль оси (oy). В этом случае в правых частях дисперсионных уравнений (32) и (49) произведение $n_0|k_z|$ следует заменить объемной плотностью заряда пучка N_0 . Физически это приведет к увеличению соответствующих констант связи, а следовательно, и инкрементов неустойчивостей. Действительно, в приведенных выше формулах величина n_0 по порядку величины равна $N_0 d$, где d — толщина пучка. Поэтому, $n_0|k_z| \sim N_0|k_z|d \ll N_0$, так как в случае бесконечно тонкого пучка $|k_z|d \ll 1$.

5. Заключение

Исследована неустойчивость бесконечно тонкого электронного пучка, движущегося в вакууме над поверхностью изотропного негиротропного кристалла. Рассмотрены возможности возбуждения продольных экситонов и волн поляризации нерелятивистским электронным пучком. Получены дисперсионные соотношения для объемных и поверхностных экситонных возбуждений, связанных с волной пучка. Показано, что объемная продольная волна и поверхностная волна поляризации имеют отрицательную дисперсию и взаимодействие их с пучком приводит к возникновению абсолютной неустойчивости. Найдены выражения для соответствующих инкрементов.

Список литературы

- [1] J. Frenkel. Phys. Rev. **37**, 17 (1931).
- [2] С.И. Пекар. ЖЭТФ **33**, 1022 (1957).
- [3] В.Л. Гинзбург. ЖЭТФ **34**, 1593 (1958).
- [4] В.М. Агранович, А.А. Рухадзе. ЖЭТФ **35**, 982 (1958).
- [5] В.М. Агранович, В.Л. Гинзбург. Кристаллооптика с учетом пространственной дисперсии и теория экситонов. Наука, М. (1979). 432 с.
- [6] В.В. Брыксин, Д.Н. Мирлин, Ю.А. Фирсов. УФН **113**, 29 (1974).
- [7] С.И. Powell. Phys. Rev. **175**, 972 (1968).
- [8] R.B. Pettit, J. Silcox, R. Vincent. Phys. Rev. B **11**, 3116 (1975).
- [9] M. Šunjić, A.A. Lucas. Phys. Rev. B **3**, 719 (1971).
- [10] R. Matz, H. Luth. Phys. Rev. Lett. **46**, 500 (1981).
- [11] F. Yubero, S. Tougaard. Phys. Rev. B **46**, 2486 (1992).
- [12] F. Yubero, D. Fujita, B. Ramskov, S. Tougaard. Phys. Rev. B **53**, 9728 (1996).
- [13] M.A. Vasylyev, V.A. Tinkov, B.E. Nieuwenhuys. J. Electron Spectrosc. Related Phenomena **159**, 53 (2007).
- [14] J.B. Pendry, L. Martin-Moreno. Phys. Rev. B **50**, 5062 (1994).
- [15] G.F. Bertsch, H. Esbensen, B.W. Reed. Phys. Rev. B **58**, 14 031 (1998).
- [16] T. Nagao, S. Yaginuma, T. Inaoka, T. Sakurai. Phys. Rev. Lett. **97**, 116 802 (2006).
- [17] H. Ibach. Phys. Rev. Lett. **24**, 1416 (1970).
- [18] A.A. Lucas, E. Kartheuser, R.G. Badro. Phys. Rev. B **2**, 4990 (1970).
- [19] S. Lehwald, M. Rocca, H. Ibach, T.S. Rahman. Phys. Rev. B **31**, 3477 (1985).
- [20] H. Nienhaus. Phys. Rev. B **56**, 13 194 (1997).
- [21] В.М. Агранович. Теория экситонов. Наука, М. (1968). 382 с.
- [22] Экситоны / Под ред. Э.И. Рашбы, М.Д. Стерджа. Наука, М. (1985). 616 с.
- [23] В.А. Кособукин, М.М. Моисеева. ФТТ **37**, 3694 (1995).
- [24] В.А. Кособукин. ФТТ **40**, 824 (1998).
- [25] В.А. Кособукин, А.Н. Поддубный. ФТТ **49**, 1883 (2007).
- [26] В.С. Днепровский, Е.А. Жуков, Е.А. Муляров, С.Г. Тиходеев. ЖЭТФ **114**, 700 (1998).

- [27] А.С. Бричкин, А.В. Черненко, Е.А. Чехович, П.С. Дорожкин, В.Д. Кулаковский, С.В. Иванов, А.А. Торопов. *ЖЭТФ* **132**, 426 (2007).
- [28] R. Heitz, H. Born, F. Guffarth, O. Stier, A. Schliwa, A. Hoffmann, D. Bimberg. *Phys. Rev. B* **64**, 241 305 (2001).
- [29] B. Patton, W. Langbein, U. Woggon. *Phys. Rev. B* **68**, 125 316 (2003).
- [30] J. Maultzsch, R. Pomraenke, S. Reich, E. Chang, D. Prezzi, A. Ruini, E. Molinari, M.S. Strano, C. Thomsen, C. Lienau. *Phys. Rev. B* **72**, 241 402 (2005).
- [31] Le Si Dang, D. Heger, R. Andre, F. Boeuf, R. Romestain. *Phys. Rev. Lett.* **81**, 3920 (1998).
- [32] H. Deng, G. Weihs, Ch. Santori, J. Bloch, Y. Yamamoto. *Science* **298**, 199 (2002).
- [33] J. Kasprzak, M. Ruchard, S. Kundermann, A. Baas, P. Jeambrun, J.M.J. Keeling, F.M. Marchetti, M.H. Szymaska, R. Andre, J.L. Stachli, V. Savona, P.B. Littlewood, B. Deveaud, Le Si Dang. *Nature* **443**, 409 (2006).
- [34] L.V. Butov. *Nature*. **447**, 540 (2007).
- [35] В.М. Яковенко. *УФЖ* **1**, 226 (1965).
- [36] P.A. Strurrock. *Phys. Rev.* **112**, 1488 (1958).
- [37] А.И. Ахиезер, И.А. Ахиезер, Р.В. Половин, А.Г. Ситенко, К.Н. Степанов. *Электродинамика плазмы*. Наука, М. (1974). 720 с.